

УДК 51-76, 612.171.1

П.А. Блинов, А.А. Михеев

## АНАЛИЗ МЕТОДОВ КОМПЕНСАЦИИ ДРЕЙФА ИЗОЛИНИИ ЭЛЕКТРОКАРДИОСИГНАЛА

Проведен анализ современных методов компенсации дрейфа изолинии электрокардиосигнала с целью выявления наиболее эффективного для решения задач компенсации дрейфа.

**Ключевые слова:** электрокардиосигнал, дрейф изолинии, фильтрация электрокардиосигнала, интерполяция.

**Введение.** Сердечно-сосудистые заболевания занимают одно из ведущих мест среди недугов, которыми страдает человечество.

Для диагностики заболевания на раннем этапе, необходимо иметь точные кардиологические данные по пациенту. В настоящее время основной проблемой получения точных данных является наличие помех на снимаемом электрокардиосигнале (ЭКС). Основная и порой трудноустраняемая помеха – это дрейф изолинии ЭКС (рисунок 1).

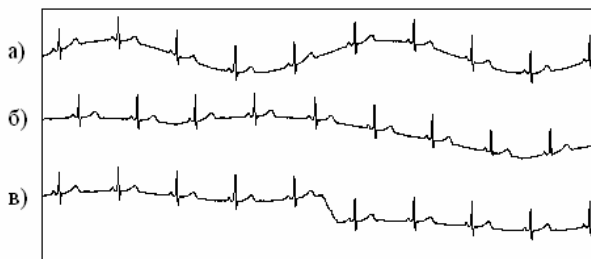


Рисунок 1 – Типичные дрейфы изолинии ЭКС

- а) – периодический; б) – случайный;  
в) – нарушение контакта.

К характерным причинам, появления дрейфа изолинии на ЭКС можно отнести:

- движения пациента во время съема ЭКС. Особенно это наблюдается у новорожденных и детей дошкольного возраста;

- нарушение контакта, при плохой установке электродов на пациенте. Если речь идет о проведении нагрузочных проб, то проблема усугубляется тем, что электроды «плавают» из-за нагрузки;

- поляризация участка кожи под электродом. В соответствии с требованиями Американской ассоциации медицинских инженеров (ANSI/AAM EC12-2000 AAM) стандартизируется импеданс, постоянная составляющая напряжения смещения, нестабильность напряжения смещения, внутренние шумы электрода, восстановление после разряда дефибриллятора и устойчивость к

длительному малому постоянному току.

Существующие на сегодняшний день методы устранения дрейфа изолинии ЭКС делятся на две большие группы:

- методы компенсации дрейфа изолинии во временной области;
- методы компенсации дрейфа изолинии в частотной области.

**Методы компенсации дрейфа во временной области.** Методы компенсации во временной области основаны на выделении сигнала дрейфа изолинии из смеси ЭКС и помехи с помощью интерполяционных методов. К таким методам можно отнести: кусочно-линейную интерполяцию, глобальную сплайн-интерполяцию, Полиномиальную интерполяцию.

На рисунке 2 представлен пример интерполяции периодической низкоамплитудной помехи с использованием отсчетов помехи, взятых на ТР-сегменте (отмечены точками).

Можно заметить, что интерполяция обладает рядом существенных недостатков, а именно:

1) Чувствительность к высокочастотным помехам (шумы квантования, импульсные помехи). С ростом амплитуды помехи возрастает относительная приведенная погрешность выделения дрейфа изолинии.

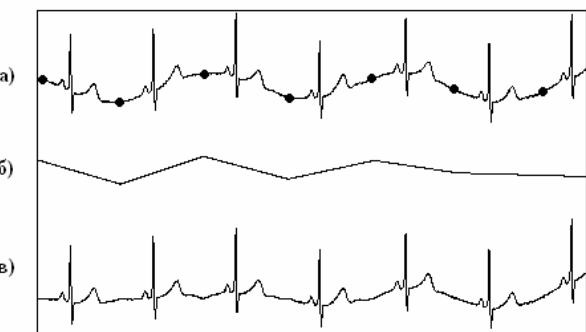


Рисунок 2 – Кусочно-линейная интерполяция ЭКС

- а) – исходный ЭКС с аддитивной помехой; б) – выделенная интерполяцией помеха; в) – сигнал после компенсации помехи

Для относительной погрешности равномерного приближения справедлива формула:

$$\delta = \frac{\max |f(x) - P_n(x)|}{f_{\max}}$$

где  $f(x)$  - исходная функция;  $P_n(x)$  - интерполирующий полином;  $f_{\max}$  - максимальное значение функции  $f(x)$  на интервале изменения исходной ЭКС.

2) Ограничность частотного диапазона устранием дрейфа. Шаг дискретизации, через который повторяются узлы интерполяции, определяется частотой сердечных сокращений (ЧСС).

В практических приложениях шаг дискретизации существенно меньше, чем определяемый по Котельникову и зависит от степени интерполяционного полинома и требуемой точности представления восстановленного сигнала.

В работе [1] показано, что шаг дискретизации  $\Delta t_L$  при линейной интерполяции связан с допустимой относительной погрешностью равномерного приближения  $\delta$  соотношением:

$$\Delta t_L = \frac{2\sqrt{2}\sqrt{5}\delta}{F_B} \approx 1,35\sqrt{\delta}\Delta t,$$

где  $F_B$  - граничная частота помехи.

На рисунке 3 представлена зависимость частоты помехи от величины допустимой относительной погрешности равномерного приближения с обозначением областей допустимых частот дискретизации. Из рисунка можно видеть ограничение интерполяционного метода, а именно частота дискретизации не может превышать частоту сердечных сокращений (ЧСС) (40-140 уд/мин).

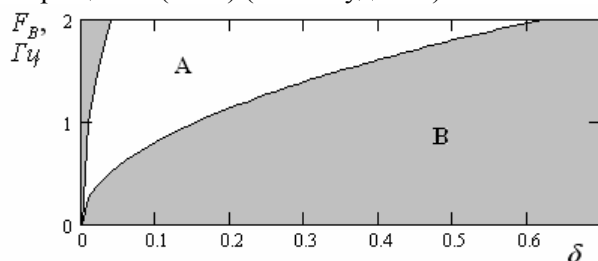


Рисунок 3 – Зависимость частоты помехи от величины относительной погрешности равномерного приближения

А – допустимая область (область возможного изменения ЧСС); В – недопустимая область частот.

Таким образом, выделение дрейфа изолинии с определенной погрешностью порядка единиц процентов может быть достигнуто только при

частотах помехи существенно меньших, чем ЧСС (рисунок 3).

**Методы компенсации дрейфа изолинии в частотной области.** Частотные методы не чувствительны к амплитуде и работают в широком диапазоне частот, из-за чего так же применяются для компенсации дрейфа изолинии.

К методам компенсации в частотной области можно отнести фильтрационные методы.

Упрощенная схема цифрового фильтра с аналоговыми входом и выходом приведена на рисунке 4.

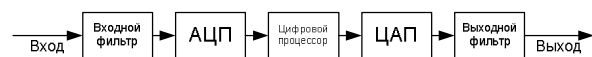


Рисунок 4 – Упрощенная блок-схема цифрового фильтра

Устранение дрейфа изолинии с применением ФВЧ ведет к потере постоянной составляющей и искажению элементов ЭКС, спектр которых сосредоточен в низкочастотной части [2].

На рисунке 5 представлен спектр ЭКС и дрейфа изолинии [3].

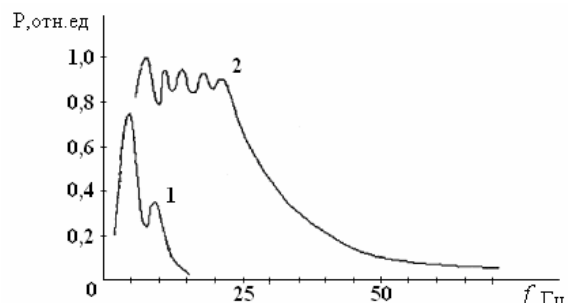


Рисунок 5 – Относительная спектральная плотность ЭКС и дрейфа изолинии

1 – дрейф изолинии (артефакты движения);  
2 – спектр ЭКС

Спектр дрейфа изолинии лежит в НЧ-области ЭКС (рисунок 5), что предъявляет к цифровому фильтру следующее требование: низкая частота среза и частота подавления и как следствие высокая крутизна АЧХ фильтра (порядка 80 дБ).

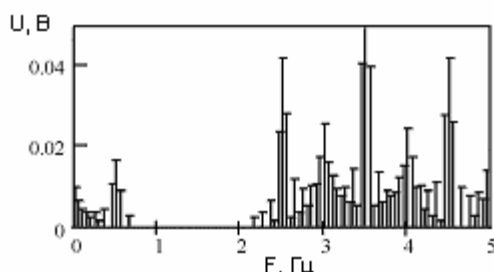
Данное требование удовлетворяется при увеличении порядка фильтра, что увеличивает вычислительные затраты при обработке отчетов ЭКС. Меньшие вычислительные затраты обеспечивают фильтры с бесконечной импульсной характеристикой (БИХ-фильтры) [4]. Однако они обладают нелинейной фазой частотной характеристикой, что затрудняет учет точного времени задержки сигнала на выходе фильтра. Знание этого необходимо для соответствия задержки исходного ЭКС перед операцией вычитания из этого сигнала выделенного дрейфа изолинии.

Фильтр с конечной импульсной характеристикой (КИХ-фильтр) позволяет точнее определить время задержки обрабатываемого сигнала [4], однако требует существенно больших вычислительных затрат.

Для уменьшения вычислительных затрат ФНЧ в [5] предлагается использовать много-каскадное включение фильтров, один из которых имеет предварительно децимированную импульсную характеристику.

Совместно с цифровыми фильтрами перспективно применение импульсных сигналов сложной формы (ИССФ) (рисунок 6) [6].

Характерной особенностью ИССФ является отсутствие в его спектре заданных спектральных составляющих (спектральных зон) (рисунок 6).



**Рисунок 6 – Спектр ИССФ с подавленными 1-й и 2-й спектральными зонами**

На рисунке 6 представлен спектр ИССФ с подавленными первой и второй спектральными зонами. Составляющие дрейфа изолинии, содержащие в нулевой спектральной зоне и имеющие максимальную частоту 0,7 Гц могут быть уверенно выделены ФНЧ.

Из рисунка 6 и теоремы Котельникова максимальная частота помехи, которую теоретически можно выделить, зависит от числа подавленных спектральных зон по следующей формуле:

$$F_B = \frac{n+1}{2} \cdot F_{\text{ЧСС}},$$

где  $F_{\text{ЧСС}}$  - частота сердечных сокращений (ЧСС);  $n$  - количество подавленных спектральных зон.

В спектре модулированного по амплитуде ИССФ вместе с подавленными гармоническими составляющими подавляются и соответствующие им боковые составляющие, то есть подавляется целиком спектральная зона. Но кроме достоинств, которыми обладают ИССФ, существуют и недостатки, такие как чувствительность к шуму квантования, что особенно актуально при работе с цифровыми сигналами.

В процессе преобразования аналоговых значений в цифровые, возникает ошибка квантования, значение которой является случайной

величиной. Дисперсию шума квантования, можно получить по формуле:

$$\sigma_\xi^2 = \frac{U_{\max}^2}{12 \cdot 2^{2b}}.$$

При прохождении через фильтр, дисперсия выходной последовательности  $\sigma_{\text{вых}}^2$  равна [7]:

$$\sigma_{\text{вых}}^2 = \sigma_\xi^2 \sum_{n=0}^{\infty} h^2(n),$$

где  $h(n)$  - дискретная импульсная характеристика фильтра.

Действие шума квантования на ИССФ проявляется в виде неполного подавления заданных спектральных зон, что приведет при выделении сигнала помехи фильтром к искажению этого сигнала, т.е. к неполной компенсации дрейфа изолинии.

**Заключение.** Интерполяционные методы не требовательны к вычислительным затратам но имеют принципиальные ограничения на частотный диапазон выделяемого дрейфа изолинии.

При фильтрационном методе на основе ФВЧ искаются НЧ-составляющие ЭКС, в частности ST-сегмент.

При фильтрационном методе на основе ФНЧ частота устранием дрейфа изолинии ограничена (0,1-0,2)  $F_{\text{ЧСС}}$ .

Более эффективное выделение и подавление дрейфа может быть достигнуто при использовании ИССФ совместно с фильтрацией, однако максимальная частота помехи возможная к выделению зависит от ЧСС и количества подавленных спектральных зон.

Для более эффективной компенсации дрейфа изолинии актуально использовать ИССФ совместно с фильтрами НЧ, исключая влияние АЧХ фильтра на спектр исходной ЭКС.

Необходимы дальнейшие исследования влияния шумов квантования ИССФ на точность восстановления дрейфа изолинии с целью определения предельных возможностей данного метода.

#### Библиографический список

1. Пеннин П.И. Системы передачи цифровой информации. Учебное пособие для вузов. М.: Советское радио, 1976 – 368 с.: ил.
2. Р. М. Рангайян Анализ биомедицинских сигналов. Практический подход. – М.: Физматлит, 2007 – 440 с.: ил.
3. Кардиомониторы. Аппаратура непрерывного контроля ЭКГ/А. Л. Барановский, А.Н. Калиниченко, Л.А. Манило и др.: Под ред. А. Л. Барановского и А. П. Немирко. М.: Радио и связь. 1993 – 248 с.
4. Р. Лайонс Цифровая обработка сигналов: второе издание. Пер. с англ. – М.: ООО «Бином-Пресс», 2006 – 656 с.:ил.

5. Блинов П.А. Многокаскадное включение фильтров для выделения аддитивной помехи из электрокардиосигнала // Биотехнические, медицинские и экологические системы и комплексы: Тез. докл. науч.-техн. конф. Рязань, 2006, С.84-86.

6. Мельник О.В., Михеев А.А., Нечаев Г.И. Выделение дрейфа изолинии электрокардиосигнала //

Биомедицинские технологии и радиоэлектроника, 2005, № 1-2 С.26-30.

7. Васильев В.П. Основы теории и расчета цифровых фильтров: учеб. Пособие для высш. учеб. Заведений – М.: Академия, 2007 – 272 с.